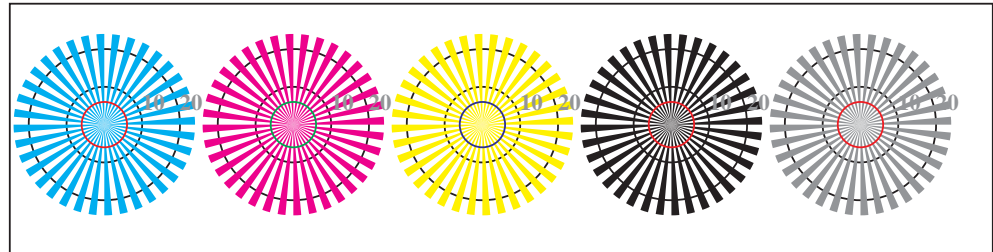


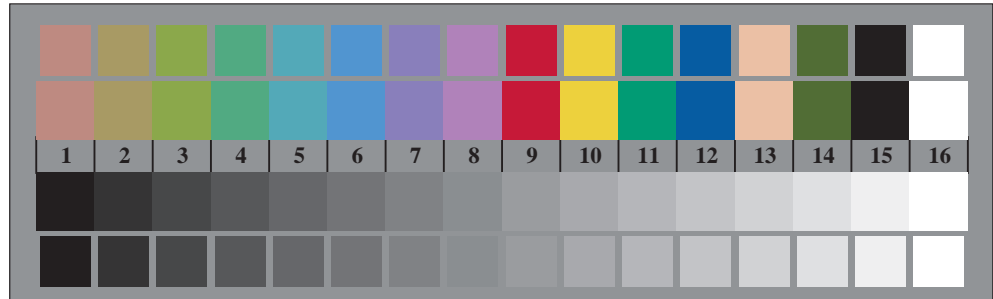
TS951-1, Fig. B4Wd: 16 equidistante pasos $W-C_d; W-M_d; W-Y_d; W-N$; $rgb/cmy0 \rightarrow rgb_d$ setrgbcolor

+-.: Q	O	O	O	C	lmno	C	O	C	O	pqrs	O	O	O	O	O	O	O	O	uvw	O	O	O				
xyz;	O	O	O	C	hijk	O	O	O	O	lmno	O	O	O	O	O	O	O	O	pqr	O	O	O				
tuvw	O	O	O	C	defg	O	O	O	O	hijk	C	O	O	O	O	O	O	O	lmn	O	O	O				
pqrs	O	O	O	C	!abc	O	O	O	O	+-.:	O	O	O	O	O	O	O	O	hjk	O	O	O				
lmno	O	O	O	C	xyz;	O	O	O	O	xyz;	O	O	O	O	O	O	O	O	+-.:	O	O	O				
hijk	C	O	O	C	tuvw	O	O	O	O	tuvw	O	O	O	O	O	O	O	O	tab	O	O	O				
defg	O	O	O	C	pqrs	O	O	O	O	defg	O	O	O	O	O	O	O	O	xyz;	O	O	O				
!abc	O	O	O	C	!abc	O	O	O	O	!abc	O	O	O	O	O	O	O	O	defg	O	O	O				
10	N	C	d	M	d	Y	d	Z		6	N	C	d	M	d	Y	d	Z	4	N	C	d	M	d	Y	Z

TS951-3, Fig. B5Wd: codigo y Landolt annilosN; C_d ; M_d ; Y_d ; Z ; PS operator $rgb \rightarrow rgb_d$ setrgbcolor



TS950-5, Fig. B2Wd: rejillas radial $W-C_d; W-M_d; W-Y_d; W-N$; PS operator $rgb \rightarrow rgb_d$ setrgbcolor



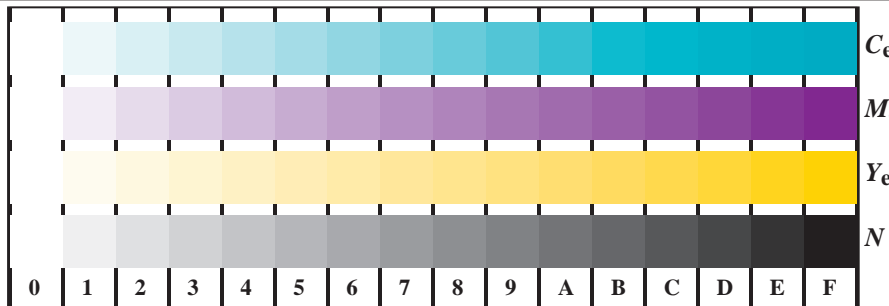
TS950-7, Fig. B3Wd: CIE 14 colores del test y 2 + 16 pasos de gris (sf); $rgb/cmy0 \rightarrow rgb_d$ setrgbcolor

0-1	anillos de Landolt $W-C_d$	Code	0-1	anillos de Landolt $W-M_d$	Code
7-8			7-8		
E-F			E-F		
2-0			2-0		
8-6			8-6		
F-D			F-D		

TS951-5, Fig. B6Wd: anillos de Landolt $W-C_d; W-M_d$; PS operator $rgb \rightarrow rgb_d$ setrgbcolor

0-1	anillos de Landolt $W-Y_d$	Code	0-1	anillos de Landolt $W-N$	Code
7-8			7-8		
E-F			E-F		
2-0			2-0		
8-6			8-6		
F-D			F-D		

TS951-7, Fig. B7Wd: anillos de Landolt $W-Y_d; W-N$; PS operator $rgb \rightarrow rgb_d$ setrgbcolor



TS951-1, Fig. B4We: 16 equidistante pasos $W-C_e; W-M_e; W-Y_e; W-N$; $rgb/cmby0 \rightarrow rgb_e$ setrgbcolor

+-.: Q	0	C	0	0	0	0	0	0	0	pqr	0	0	0	0	0	0	0	0	uvw	0	0	0	0
xyz;	0	0	0	0	0	0	0	0	0	lmno	0	0	0	0	0	0	0	0	pqrs	0	0	0	0
tuvw	0	0	0	0	0	0	0	0	0	hijk	0	0	0	0	0	0	0	0	lmno	0	0	0	0
pqrs	0	0	0	0	0	0	0	0	0	defg	0	0	0	0	0	0	0	0	hijk	0	0	0	0
lmno	0	0	0	0	0	0	0	0	0	!abc	0	0	0	0	0	0	0	0	+-.:	0	0	0	0
hijk	0	0	0	0	0	0	0	0	0	xyz;	0	0	0	0	0	0	0	0	tuvw	0	0	0	0
defg	0	0	0	0	0	0	0	0	0	!abc	0	0	0	0	0	0	0	0	defg	0	0	0	0
!abc	0	0	0	0	0	0	0	0	0	6	N	C _e M _e Y _e Z											
10	N	C _e M _e Y _e Z								8	N	C _e M _e Y _e Z											

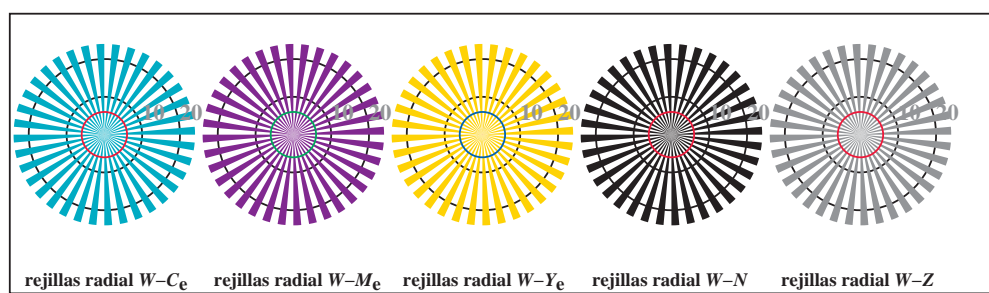
TS951-3, Fig. B5We: codigo y Landolt annilosN; $C_e; M_e; Y_e; Z$; PS operator $rgb \rightarrow rgb_e$ setrgbcolor

anillos de Landolt $W-C_e$	Code	anillos de Landolt $W-M_e$	Code
0-1		0-1	
7-8		7-8	
E-F		E-F	
2-0		2-0	
8-6		8-6	
F-D		F-D	

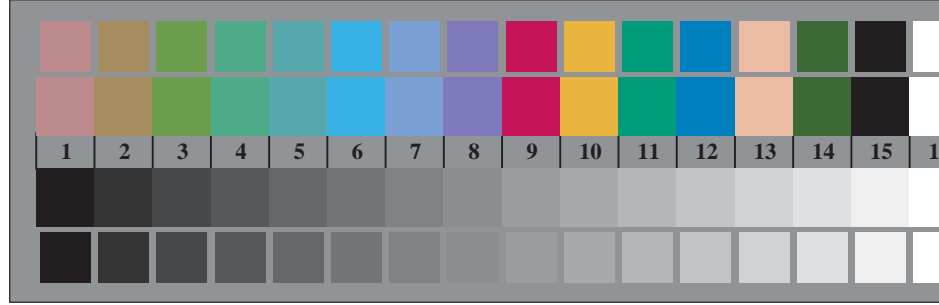
TS951-5, Fig. B6We: anillos de Landolt $W-C_e; W-M_e$; PS operator $rgb \rightarrow rgb_e$ setrgbcolor

anillos de Landolt $W-Y_e$	Code	anillos de Landolt $W-N$	Code
0-1		0-1	
7-8		7-8	
E-F		E-F	
2-0		2-0	
8-6		8-6	
F-D		F-D	

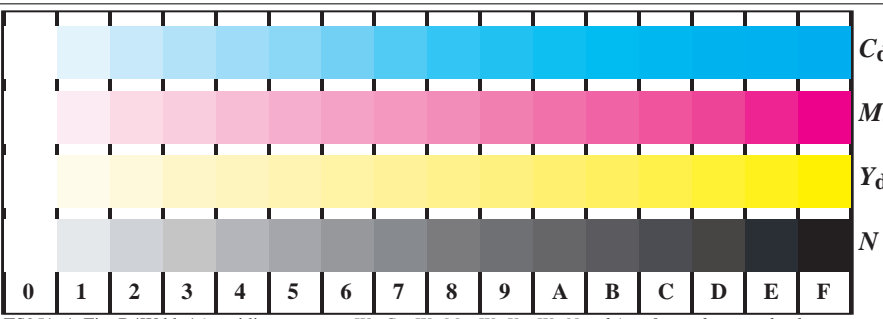
TS951-7, Fig. B7We: anillos de Landolt $W-Y_e; W-N$; PS operator $rgb \rightarrow rgb_e$ setrgbcolor



rejillas radial $W-C_e$ rejillas radial $W-M_e$ rejillas radial $W-Y_e$ rejillas radial $W-N$ rejillas radial $W-Z$



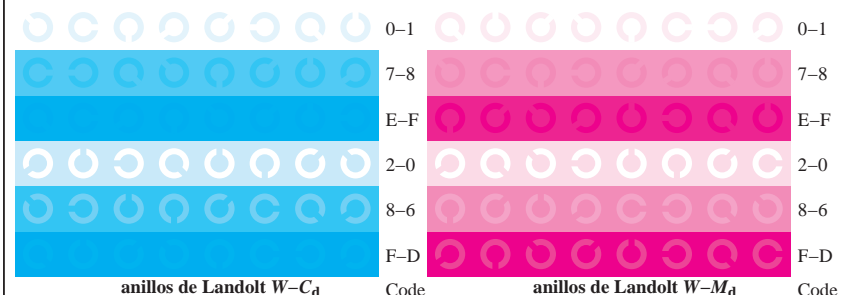
TS950-7, Fig. B3We: CIE 14 colores del test y 2 + 16 pasos de gris (sf); $rgb/cmby0 \rightarrow rgb_e$ setrgbcolor



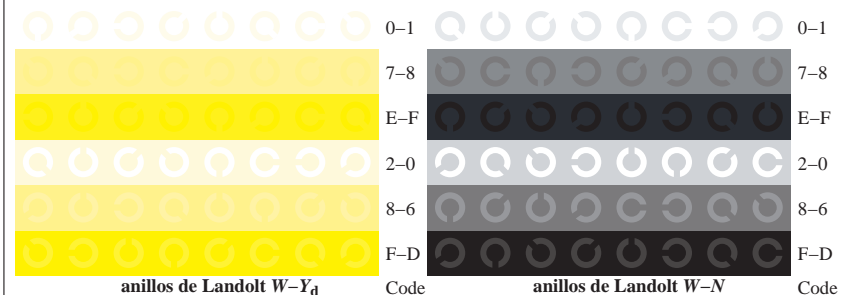
TS951-1, Fig. B4Wdd: 16 equidistante pasos $W-C_d; W-M_d; W-Y_d; W-N$; $rgb/cmy0 \rightarrow rgb_{dd}$ setrgbcolor

+−..:		lmno		pqrss		uvwxyz;		tuvw
xyz;		hijk		lmno		defg		
tuvw		defg		hijk		!abc		
pqrs		!abc		+−..:		xyz;		
lmno		+−..:		xyz;		tuvw		
hijk		xyz;		tuvw		defg		
defg		defg		defg		!abc		
!abc		pqrs		6		6		
10		lmno		N		N		

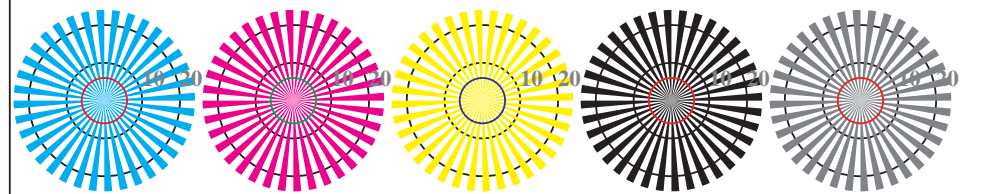
TS951-3, Fig. B5Wdd: codigo y Landolt anillos N; $C_d; M_d; Y_d; Z; PS$ operator $rgb \rightarrow rgb_{dd}$ setrgbcolor



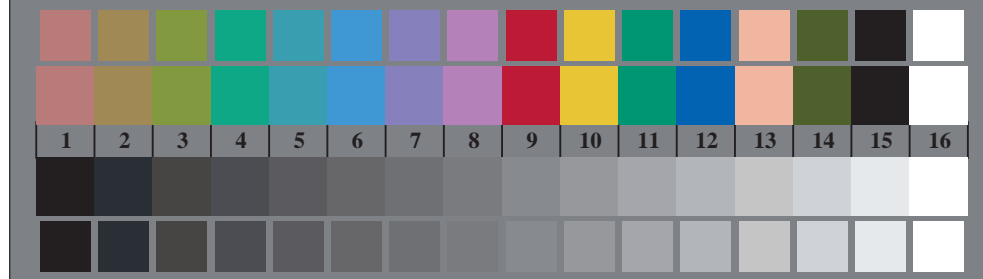
TS951-5, Fig. B6Wdd: anillos de Landolt $W-C_d; W-M_d$; PS operator $rgb \rightarrow rgb_{dd}$ setrgbcolor



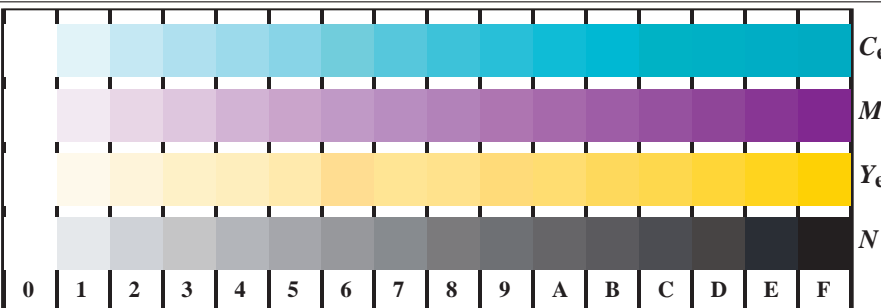
TS951-7, Fig. B7Wdd: anillos de Landolt $W-Y_d; W-N$; PS operator $rgb \rightarrow rgb_{dd}$ setrgbcolor



TS950-5, Fig. B2Wdd: rejillas radial $W-C_d; W-M_d; W-Y_d; W-N; PS$ operator $rgb \rightarrow rgb_{dd}$ setrgbcolor



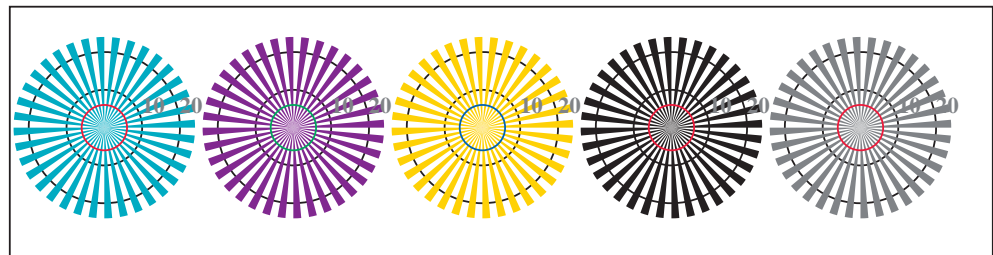
TS950-7, Fig. B3Wdd: CIE 14 colores del test y 2 + 16 pasos de gris (sf); $rgb/cmy0 \rightarrow rgb_{dd}$ setrgbcolor



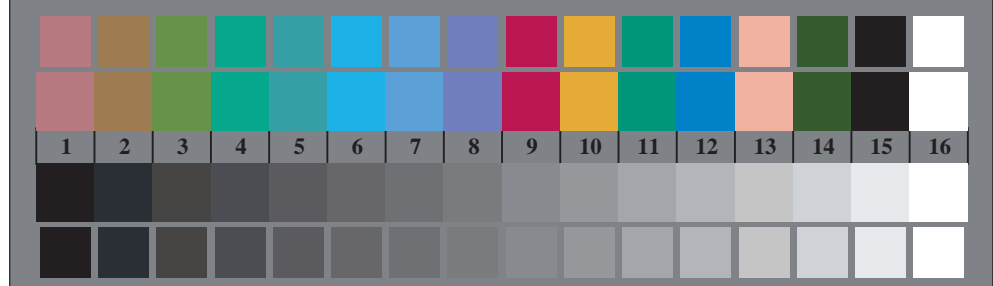
TS951-1, Fig. B4Wde: 16 equidistant pasos $W-C_e; W-M_e; W-Y_e; W-N$; $rgb/cmy0 \rightarrow rgb_{de}$ setrgbcolor

+-.:																
xyz;																
tuvw																
pqrs																
lmno																
hijk																
!abc																
+-.:																
xyz;																
tuvw																
pqrs																
lmno																
hijk																
!abc																
6																
8																
10																

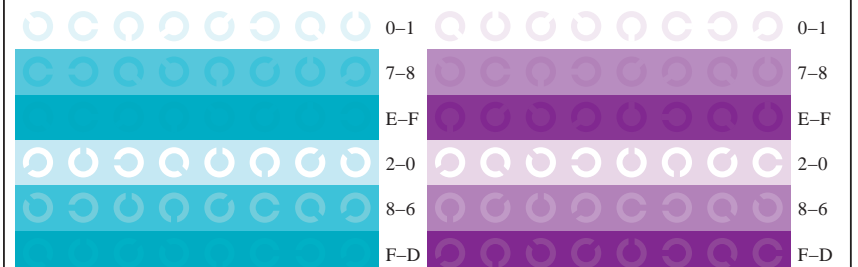
TS951-3, Fig. B5Wde: codigo y Landolt anillosN; $C_e; M_e; Y_e; Z; PS$ operator $rgb \rightarrow rgb_{de}$ setrgbcolor



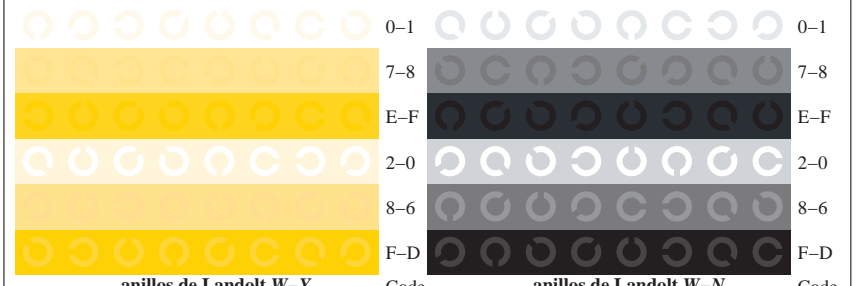
TS950-5, Fig. B2Wde: rejillas radial $W-C_e; W-M_e; W-Y_e; W-N$; PS operator $rgb \rightarrow rgb_{de}$ setrgbcolor



TS950-7, Fig. B3Wde: CIE 14 colores del test y 16 pasos de gris (sf); $rgb/cmy0 \rightarrow rgb_{de}$ setrgbcolor



TS951-5, Fig. B6Wde: anillos de Landolt $W-C_e; W-M_e$; PS operator $rgb \rightarrow rgb_{de}$ setrgbcolor



TS951-7, Fig. B7Wde: anillos de Landolt $W-Y_e; W-N$; PS operator $rgb \rightarrow rgb_{de}$ setrgbcolor